

Um Tiro na Interseção das Hipérboles

Oswaldo Germano do Rocio¹ João Roberto Gerônimo²

RESUMO. Neste trabalho, abordaremos o problema de detectar o lugar de ocorrência de um tiro via o conceito de hipérbole e suas intersecções.

Palavras-chave: *Hipérbole, geometria analítica, aplicação da hipérbole.*

1. Introdução

Assistindo a um documentário no canal Discovery Channel de uma televisão por assinatura, tivemos conhecimento da seguinte situação: para inibir a ocorrência de "balas perdidas", uma cidade dos Estados Unidos instalou sensores pela cidade capazes de detectar os estampidos que ocorrem quando algum tiro é disparado. Os sensores são instalados em locais estratégicos e quando pelo menos três detectam a ocorrência de algum disparo é possível, com certa precisão, determinar o local de onde partiu o tiro.

Neste trabalho pretendemos abordar o assunto e mostrar como acreditamos que ele funciona. A geometria analítica será nossa ferramenta básica e o título é uma pista de como ela contribui para o perfeito funcionamento do sistema instalado por essa cidade.

2. Formulação do Problema

Suponhamos que vários sensores estejam espalhados pela cidade em locais estratégicos e bem conhecidos. Estes sensores estão acoplados a relógios perfeitamente sincronizados entre si e são capazes de detectar a ocorrência de um ruído num horário com precisão de até milionésimos de segundos. Quando ocorre algum disparo vários sensores podem captar a sua ocorrência e, quando pelo menos três não colineares captam a sua ocorrência, deve se selecionar os três não colineares mais próximos do local do disparo.

Observem que, embora o local do disparo seja desconhecido, é perfeitamente possível saber quais dos sensores estavam mais próximos do local, basta observar os horários em que os relógios acoplados aos sensores registraram o estampido.

Com estes elementos, suponhamos que o local do disparo seja P (este local é desconhecido) e que as posições (conhecidas) dos sensores selecionados sejam P_1 , P_2 e P_3 . Consideremos H_1 , H_2 e H_3 os respectivos horários em que os sensores

¹ Doutor em matemática pela UNICAMP e docente da Universidade Estadual de Maringá-PR. E-mail: rocio@uem.br.

² Doutor em engenharia elétrica pela UNICAMP e docente da Universidade Estadual de Maringá-PR. E-mail: jrgeronimo@uem.br.

$$t_{31}=H_3-H_1.$$

Frisamos novamente que, embora as distâncias d_1 , d_2 e d_3 não sejam conhecidas³, pois não sabemos até o momento o local do disparo, podemos determinar as diferenças:

$$\begin{aligned} d_2-d_1 &= a \\ e \\ d_3-d_1 &= b. \end{aligned} \tag{1}$$

De fato, sabendo que a velocidade do som no meio ambiente é aproximadamente 343 metros por segundos e convertendo os tempos t_{21} e t_{31} em segundos, essas são dadas por:

$$\begin{aligned} a &= d_2-d_1 = t_{21} \cdot (343) \text{ metros} \\ e \\ b &= d_3-d_1 = t_{31} \cdot (343) \text{ metros.} \end{aligned}$$

Pelas nossas hipóteses sobre os horários em que os sensores captaram o disparo, temos que

$$0 \leq a \leq b. \tag{2}$$

Denotando por d a distância euclidiana e utilizando a desigualdade triangular segue que

$$\begin{aligned} a &= d_2-d_1 = d(P, P_2) - d(P, P_1) \leq d(P_1, P_2) \\ e \\ b &= d_3-d_1 = d(P, P_3) - d(P, P_1) \leq d(P_1, P_3). \end{aligned} \tag{3}$$

Vamos agora fixar um sistema de coordenadas associados à situação da seguinte forma: A origem do sistema de coordenadas deve ser o ponto médio O do segmento P_1P_2 . O eixo das abscissas deve ser tomado como sendo a reta passando por P_1 e P_2 orientada no sentido do segmento P_1P_2 . O eixo das ordenadas deve ser a reta passando por O e perpendicular ao segmento P_1P_2 orientada de forma que P_3 esteja no semi-espaço positivo determinado pelo eixo das abscissas (Figura 2).

³ Veja que se estas distâncias fossem conhecidas o problema estava resolvido através da intersecção de três circunferências.

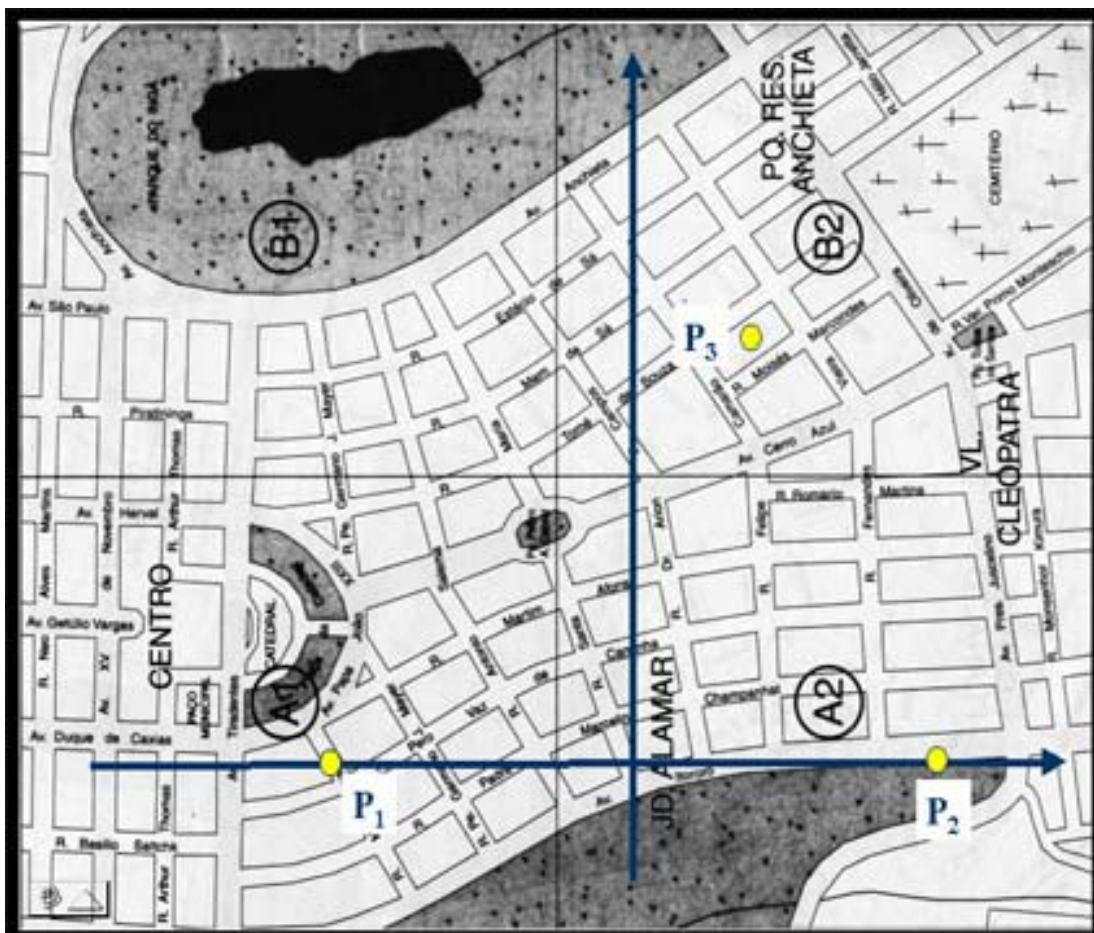


Figura 2: Mapa ilustrativo da Figura 1 com o sistema de eixos coordenados.

Consideremos fixo este sistema de coordenadas e suponhamos que :

$$\begin{aligned} P_1 &= (-c, 0) \text{ (local do sensor que registrou o menor tempo)} \\ P_2 &= (c, 0) \text{ (local do sensor que registrou o segundo menor tempo)} \\ P_3 &= (x_3, y_3) \text{ (local do sensor que registrou o terceiro menor tempo)} \\ P &= (x, y) \text{ (local do disparo)} \end{aligned} \quad (4)$$

Portanto, determinar o local do disparo é equivalente a determinar a solução do sistema acima, mediante as condições já estabelecidas.

3. Solução Geométrica

Neste ponto nos lembramos da equação da hipérbole! Se F_1 e F_2 são dois pontos fixos distintos e se k é um número real fixo satisfazendo

$$0 < k < d(F_1, F_2)$$

então a hipérbole de focos F_1 e F_2 e eixo transverso medindo $2k$ é o lugar geométrico dos pontos P que satisfazem à equação:

$$|d(F_2, P) - d(F_1, P)| = 2k.$$

O gráfico da hipérbole possui dois ramos: um positivo associado à equação

$$d(F_2, P) - d(F_1, P) = 2k.$$

o qual consiste dos pontos da hipérbole mais próximos de F_1 que de F_2 e o outro (que chamaremos de negativo) associado à equação

$$d(F_2, P) - d(F_1, P) = -2k.$$

o qual consiste dos pontos da hipérbole mais próximos de F_2 que de F_1 .

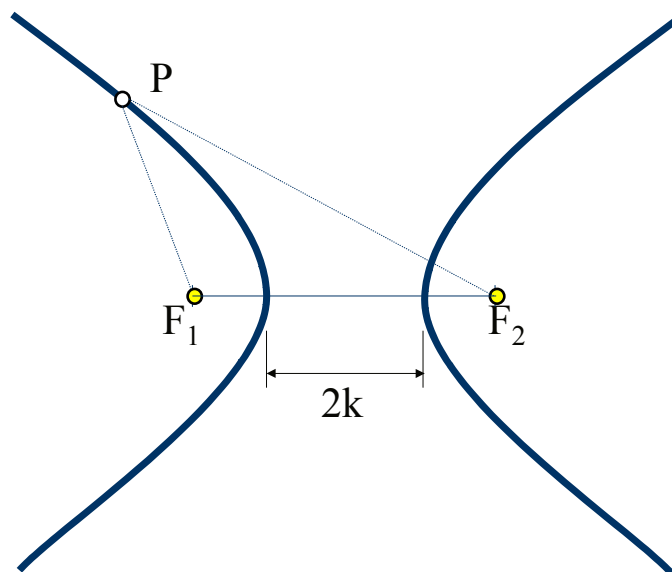


Figura 3: Representação gráfica da hipérbole de focos F_1 e F_2 e excentricidade c .

Com isto podemos observar que o ponto P de onde partiu o disparo estará situado exatamente na interseção dos ramos positivos de duas hipérboles assim descritas:

A primeira tem por focos os pontos P_1 e P_2 e eixo transverso medindo

$$a = d_2 - d_1;$$

A segunda tem por focos os pontos P_1 e P_3 e eixo transverso medindo

$$\mathbf{b} = \mathbf{d}_3 - \mathbf{d}_1.$$

Representando geometricamente as equações (5) e (6) obteremos um gráfico com o aspecto apresentado na Figura 4. Considerando que partimos de uma situação em que os sensores estavam em posições bem conhecidas e posicionando o gráfico em um mapa da cidade com escala adaptada ao parâmetros métricos adotados, teremos que o local de onde partiu o disparo está situado na intersecção dos ramos positivos de duas hipérbolas.

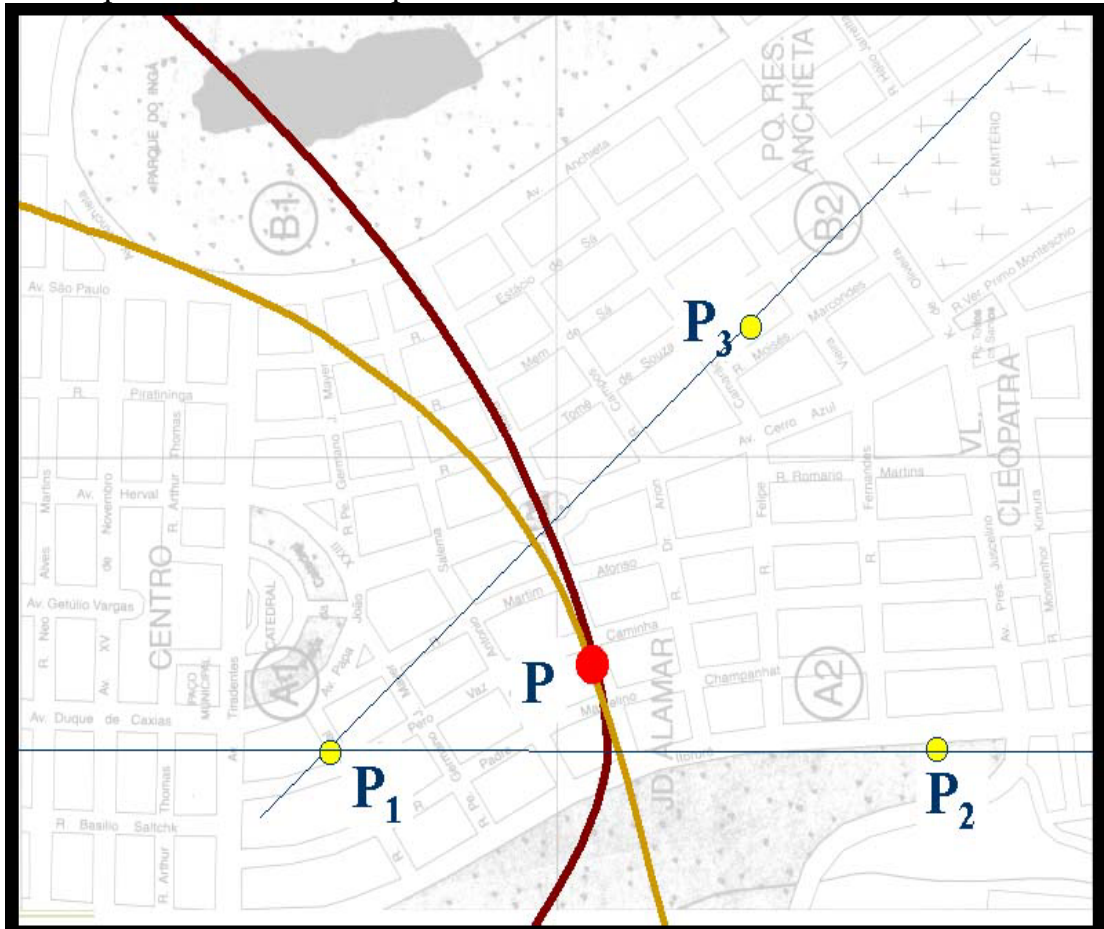


Figura 4: Intersecção dos ramos positivos das hipérboles de focos P_1 e P_2 e focos P_1 e P_3 .

4. Solução Algébrica

Na seção anterior abordamos o problema do ponto de vista geométrico. Nesse método a possibilidade de ocorrência de imprecisões é bem maior do que o do método que abordaremos nesta seção.

Do ponto de vista algébrico devemos analisar a solução do sistema de equações não lineares

$$d(P_2, P) - d(P_1, P) = a \quad (7)$$

$$d(P_3, P) - d(P_1, P) = b \quad (8)$$

onde $0 \leq a \leq b$ e as coordenadas dos pontos P_1 , P_2 e P_3 satisfazem as condições estabelecidas em (4).

Primeiramente, lembramos que foram considerados três sensores não colineares. Isto é suficiente para garantir que teremos duas hipérbolas distintas.

Desenvolvendo a equação (7) obtemos

$$cx + \left(\frac{a}{2}\right)^2 = -\left(\frac{a}{2}\right)\sqrt{(x+c)^2 + y^2} \quad (9)$$

ou seja,

$$\frac{x^2}{\left(\frac{a}{2}\right)^2} - \frac{y^2}{d^2} = 1 \quad (10)$$

onde $d = \sqrt{c^2 - \left(\frac{a}{2}\right)^2}$.

Isolando a variável x , que deve ser negativa, obtemos de (10) que

$$x = -\frac{a}{2d}\sqrt{d^2 - y^2} \quad (11)$$

Desenvolvendo a equação (8) obtemos:

$$(-2x_3 - 2c)x + (-2y_3y) + (x_3^2 + y_3^2 - b^2 - c^2) = 2b\sqrt{(x+c)^2 + y^2} \quad (12)$$

Comparando (9) e (12) obtemos

$$(2(x_3 + c) - \frac{4bc}{a})x = -2y_3y + (x_3^2 + y_3^2 - b^2 - c^2 + ba) \quad (13)$$

Substituindo (11) em (13) obtemos

$$m\sqrt{d^2 - y^2} = -2y_3y + n.$$

onde $m = \frac{-e}{d}(2(x_3 + c) - \frac{4c}{a})$ e $n = x_3^2 + y_3^2 - b^2 - c^2 + ba$.

Elevando ao quadrado, obtemos finalmente a seguinte equação de segundo grau na variável y

$$(4y_3^2 + m^2)y^2 - 4y_3ny + (n^2 - m^2d^2) = 0 \quad (14)$$

Portanto, a solução corresponde a dois valores de y . Para sabermos qual é a solução correta testamos as soluções na equação (10), que nos fornecerá o resultado. Vejamos um exemplo hipotético.

5. Exemplo Ilustrativo

Suponhamos que algum disparo tenha ocorrido e que três sensores tenham captado o estampido nos seguintes horários:

$$H_1 = 8\text{h}:12\text{min}:25 \text{ seg } 125 \mu\text{s}$$

$$H_2 = 8\text{h}:12\text{min}:25 \text{ seg } 591 \mu\text{s}$$

$$H_3 = 8\text{h}:12\text{min}:26 \text{ seg } 238 \mu\text{s}$$

Nesse caso

$$t_{21} = H_2 - H_1 = 466 \text{ milésimos de segundos,}$$

$$t_{31} = H_3 - H_1 = 647 \text{ milésimos de segundos,}$$

Portanto as respectivas diferenças das distâncias do ponto onde ocorreu o disparo aos pontos P_1 , P_2 e P_3 são

$$\begin{aligned} a = d_2 - d_1 &= t_{21} \times 343 = 0,466 \times 343 \cong 160 \text{ m,} \\ b = d_3 - d_1 &= t_{31} \times 343 = 0,647 \times 343 \cong 222 \text{ m.} \end{aligned} \quad (15)$$

Suponhamos agora que as coordenadas dos pontos onde estão instalados os sensores sejam

$$\begin{aligned} P_1 &= (0,0) \\ P_2 &= (0,864) \\ P_3 &= (168,744). \end{aligned} \quad (16)$$

Calculando os valores de d , m e n obtemos

$$d = 318,195, m = 229,98 \text{ e } n = 102.732,42.$$

Substituindo os valores em (14) e resolvendo a equação de segundo grau obtemos dois valores:

$$32,83 \text{ e } 178,98.$$

Substituindo em (11) obtemos os valores de x respectivamente iguais a $-79,17$ e $-65,81$.

Testando os pontos $(-79,17, 32,83)$ e $(-65,81, 178,98)$ na equação (10) verificamos que apenas o primeiro satisfaz a equação e este ponto será a intersecção das duas hipérboles que corresponderá ao local onde ocorreu o tiro.

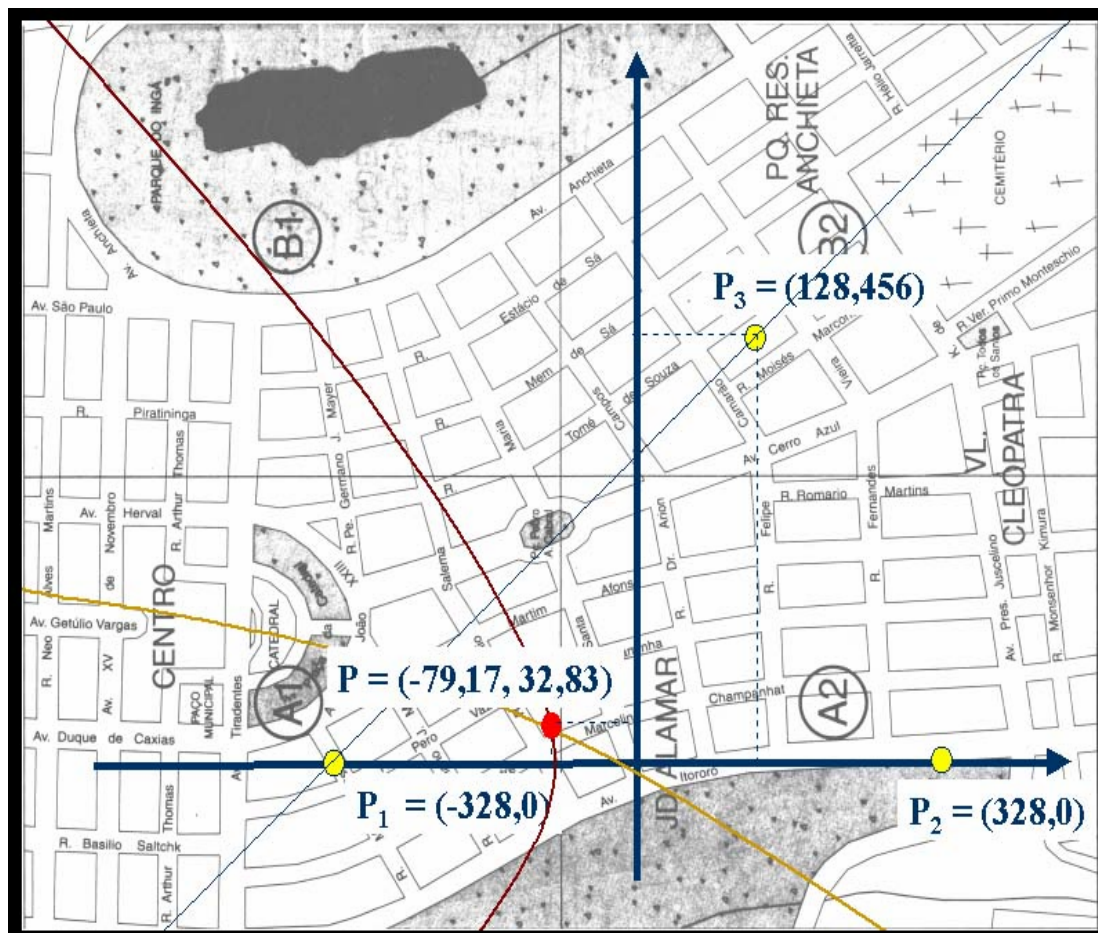


Figura 4: Intersecção dos ramos positivos das hipérboles de focos P_1 e P_2 e focos P_1 e P_3

6. Comentários Finais

A precisão na determinação exata do local onde ocorreu o disparo depende essencialmente da precisão tanto dos aparelhos eletrônicos como do mapa da cidade e do perfeito conhecimento do local exato dos sensores. No entanto, no atual estágio de desenvolvimento tecnológico isto é perfeitamente possível de se ter.

6. Indicações Bibliográficas

- [1] BOLDRINI, J. L.; COSTA S, I. R.; RIBEIRO, V. L. F.; WETZLER, H. G.; Álgebra Linear. 3^a ed., Harper & Row do Brasil. São Paulo, 1980.
- [2] BOULOS P. CAMARGO, I.; Geometria Analítica - Um Tratamento Vetorial. McGraw-Hill Ltda.. São Paulo, 1987.